

雨水路流れにおける拡散過程に関する(第6報)

— 等方性一様水流場における Lagrange 相関関数の特性 —

京都大学工学部 正量 工博 名佐義輔
京都大学工学部 正量 工修口今本博

1. 結論

等方性一様水流場における拡散現象に対する G.I.Taylor の方法は、実用上の見地から、その他の有効な方法であるが、G.I.Orlob²⁾は、この方法に基づき、Lagrange 相関関数 $R(t)$ を 2 次数関数を用いて、雨水路流れにおける拡散過程を解析した。すなわち、

$$R(t) = \exp(-\frac{t}{t_{*}}), \quad (t_{*} : \text{const. [sec]}) \quad (1)$$

实用上、主に $t \approx t_{*}$ とし、底下距離 x における分散 σ_y^2 を求める場合、

$$\sigma_y^2(x) = 2\bar{v}^2 t_{*}^2 \left\{ \frac{x}{t_{*}\bar{u}} + \exp\left(-\frac{x}{t_{*}\bar{u}}\right) - 1 \right\} \quad (2)$$

(2) 式を用いてとく、 $x = x_0$ および $x_0(x_0 + t_{*})$ における σ_y^2 の値は $t_{*}\bar{u}$ の 2 倍の関数となることより、 σ_y^2 の測定値から $t_{*}\bar{u}$ を決定することができる。しかししながら、この方法(G.I.Orlob の式²⁾)は必ず $t_{*}\bar{u}$ を決定する場合、 σ_y^2 の測定精度は必ず $t_{*}\bar{u}$ の値の大きさに影響を及ぼすため、実際は、 $t_{*}\bar{u}$ を正確に決定することは困難であるといえよう。

本報では、Lagrange 相関関数における接続係数の意義について明らかにするとともに、2, 3 の検定を用いて、 t_{*} と平均流速 \bar{u} との関係について考察しようとするものである。

2. 接続係数 t_{*} の意義

雨水 (R) の平均的寿命時間 (Verweilzeit) T は、

$$T = \int_0^\infty R(t) dt \quad (3)$$

これを用いて求めると、 $R(t)$ が (1) 式を用いてとく、 $t = t_{*} + \tau$ 时、 $t_{*} + T$ の平均的寿命時間と意味するところである。

一方、 $\sigma_y^2(x)$ は、 x の小さな範囲内とし、それ以上、近似的に $\sigma_y^2(x)$ は x に依存せぬ。

$$\sigma_y^2(x) \approx \left(\frac{\sqrt{v}}{\bar{u}}\right)^2 x^2 \quad \text{for } x: \text{short} \quad (4) \quad \sigma_y^2(x) \approx 2 \frac{\bar{v}^2}{\bar{u}} t_{*} x = \left(\frac{\sqrt{v}}{\bar{u}}\right)^2 x_0 \cdot x \quad \text{for } x: \text{long} \quad (5)$$

ここに、 $x_0 = 2\bar{u} t_{*}$ である。したがって、(2)-1 のように、函数関数として (4) および (5) 式の関係を表すことは、直線の関係をもつて $\sigma_y^2(x)$ の値を求める方法である。ただし、 x_0 は必ず $\sigma_y^2(x_0)$ は、実際の $\sigma_y^2(x_0)$ との間である。

$$\frac{\sigma_y^2(x_0)}{\sigma_y^2(x_0)} = \frac{1+e^{-2}}{2} = 0.5676, \dots \quad (6)$$

の関係が成立する。以上より明らかであるとく、 x_0 および $\sigma_y^2(x_0)$ の値を求めるために、拡散過程の観察を知ることから、 t_{*} のもう意義付けて大きなことわかる。

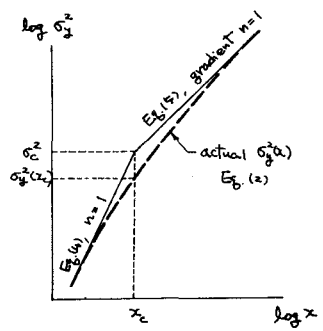


Fig. 1. The Definition of x_0 and $\sigma_y^2(x_0)$.

3. Kolmogoroff の相似則 $I = f(\bar{u}, t_*)$ の推定.

Kolmogoroff の相似則 $I = f(\bar{u}, t_*)$, 批散係数 D に着目し, $f(\bar{u}, t_*)$ の関係が成立する。

$$D \sim E^{\frac{1}{2}} L^{\frac{1}{2}} \quad (7)$$

ここに, E は単位時間あたりのエネルギー逸散量, L は拡散現象のスケールである。

流れ路流れにおける乱流拡散現象には, たとえば, D, E および L は, それとも, $f(\bar{u}, t_*)$ は表わされる。一方で, D は, Einstein の拡散理論を用いて(2)式より算出される。

$$D_y = \frac{1}{2} \frac{d\sigma_y^2}{dt} = \frac{1}{2} \bar{u} \frac{d\sigma_y^2}{dx} = \bar{u}^2 t_* \left\{ 1 - \exp\left(-\frac{x}{t_* \bar{u}}\right) \right\} \quad (8)$$

より明らかのように, x の関数として σ_y^2 は, x が大きくなるとき, 一定値 $\bar{u}^2 t_*$ に近づくことになり, (8)式にかけた $D \propto 1/x$ の値を用いることにより式(7)を, $E = f(\bar{u}, t_*)$, 一般式は,

$$E \sim \bar{u} I_e \quad (g: 密度の加速度, I_e: \bar{u}^2 t_* - 2.702) \quad (9)$$

と表わされる。また, $L = f(\bar{u}, t_*)$, Richardson $I = f(\bar{u})^{\frac{4}{3}}$ が別途測定室において測定, 各種の尺度換算を用いた上で得られる。

$$L = \sqrt{\bar{u}^2 t_*} = \sqrt{\bar{u}^2 t_*} t_* \quad (10)$$

$I = f(\bar{u})$ 定義を用いた結果を用いて式(9)を用いると, 結局, (9)式は $f(\bar{u})$ のようになら。

$$\bar{u}^2 t_* \sim (g \bar{u} I_e)^{\frac{1}{3}} (\sqrt{\bar{u}^2 t_*})^{\frac{2}{3}} \quad (11)$$

(11)式はおもに g および I_e が一定であるとき,

$$t_* \sim \left(\frac{\sqrt{\bar{u}^2 t_*}}{\bar{u}} \right)^2 \bar{u} \quad (12)$$

となり, 乱れ強さ $\sqrt{\bar{u}^2}$ が一定と近似でき場合, $t_* \sim \bar{u}$ となることわかる。

4. 実験値による検証。

定常水流状態における乱れの相似強さに関する従来の検定結果³³⁾によると, $\frac{\sqrt{\bar{u}^2}}{\bar{u}} = 0.3 \sim 0.4$ であるが, $\frac{\sqrt{\bar{u}^2}}{\bar{u}}$ が一定となる近似は, ほぼ満足されるものであると考へてある。¹²⁻²は, 路床による 0.00218 の実験路流れにおける Orlob³⁴⁾ の拡散実験は, $t_* \sim \bar{u}$ と従来の相似性を示すが, これは $\bar{u} < t_*$ の場合を示すものであるが, この場合 $t_* \sim \bar{u}$ と従来の相似性を示す。しかし, 実用上におもいでは, (12)式は t_* を t_* と推定する方法が容易である。方程式に述べたように, t_* により拡散過程の距離を推定する方法が最も簡単であるから, 結局, きめ細かい検定容易である。

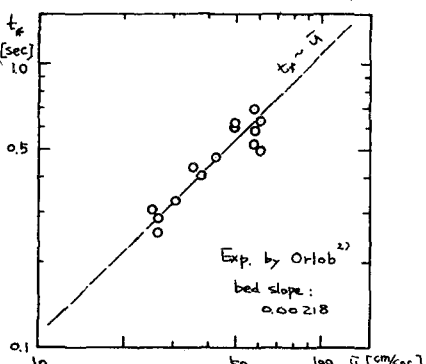


Fig. 2. The Relation between \bar{u} and t_* .

1). Taylor, G.I., "Diffusion by Continuous Movements", Proc. London Math. Soc. 20, 1921.

2). Orlob, G.T., "Eddy Diffusion in Open Channel Flow", Sanitary Eng. Research Labo. Univ. California, Berkeley, Calif. 1958.

33). Lauter, J., "Investigation of Turbulent Flow in a Two Dimensional Channel", NACA Rep. 1053, 1951.